

9. Тітлов О.С., Василів О.Б. Вартісні та екологічні експлуатаційні характеристики апаратів побутової холодильної техніки в Україні і країнах ЄС / О.С. Тітлов, О.Б. Василів // Ринок інсталяційний. – 1998. – № 9. – С. 18–20.
10. Терехов А.А. Ремонт холодильников абсорбционного типа / А.А. Терехов. – М.: Легкая индустрия, 1973. – 70 с.
11. Патент 0323820 ЕР, МКИ F25B 49/00, F25B 15/10. Arrangement for preventing freezing of the working medium in absorption refrigerating apparatus / M.T. Walfridson, S.H. Farndahl. – №88850422.2; Заявл.14.12.88; Опубл.12.07.89, Bulletin 89/28.
12. Патент 2036395 Российской Федерации, МКИ F25 B 27/00. Абсорбционный гелиохолодильник /З.И. Ашурлы, М.Т. Гаджиев, С.А. Филин -№92009125/06; Заявл. 30.11.92; Опубл. 10.08.94, Бюл. № 30.
13. Пат. 4126014 США, МКИ F25 B 27/00, F25 B15/00, F24 J 3/02. Абсорбционный холодильник с гелиосистемой /Т. Кей. – №795000; Заявл. 09.05.77; Опубл. 21.11.78.
14. Шкроб Ю.В. Как «согнуть» солнечный луч / Ю.В. Шкроб // Изобретатель и рационализатор. – 2003. – № 6. – С.11.

УДК 621.575(088.8):621.56/59(031)

МЕТОДИКА РАСЧЕТА ХОЛОДОПРОИЗВОДИТЕЛЬНОСТИ ИСПАРИТЕЛЯ АБСОРБЦИОННОГО ХОЛОДИЛЬНОГО АГРЕГАТА В СОСТАВЕ АБСОРБЦИОННЫХ ХОЛОДИЛЬНЫХ ПРИБОРОВ РАЗЛИЧНОГО НАЗНАЧЕНИЯ

**Титлов А.С., д-р техн. наук, профессор, Ищенко И.Н., ассистент, Титлова О.А., аспирант
Одесская национальная академия пищевых технологий, г. Одесса
Хоменко Н.Ф.**

Промышленно-строительная группа «Антарес» (Васильковский завод холодильников)

Разработана методика для расчета холодопроизводительности испарителей абсорбционных холодильных агрегатов (АХА), входящих в состав абсорбционных холодильных приборов (АХП) различного назначения. Методика учитывает результаты экспериментальных исследований температурных полей серийного абсорбционного холодильника. Представлены некоторые результаты расчетов типичных конструкций АХП и анализ влияния температуры воздуха окружающей среды на тепловые режимы холодильного шкафа

A method is developed for the calculation of power vaporizers of absorption refrigeration aggregates (ARA), entering in the complement of absorption refrigeration devices (ARD) of the different setting. A method takes into account the results of experimental researches of the temperature fields of serial absorption refrigerator. Some results of calculations of typical constructions of ARD and analysis of influence of temperature of air of environment are presented on the thermal modes of refrigeration closet

Ключевые слова: абсорбционный холодильный агрегат (АХА), абсорбционный холодильный прибор (АХП), методика расчета, холодопроизводительность испарителя.

Теплофизические процессы, протекающие в АХА, обуславливают режим работы испарителя с переменной температурой фазового перехода. Начало испарения характеризуется минимальной температурой, конец — максимальной. Причем из опыта практических исследований известны примеры, когда начало испарения проходит при температурах минус 35 ... минус 30 °C, а конец испарения при 0...5 °C [1]. Уровень температур и количество испарившегося хладагента определяются геометрическими параметрами испарителя, условиями подвода тепла и кратностью циркуляции парогазовой смеси между испарителем и абсорбером.

Необходимо обратить внимание и на следующий аспект определения величины холодопроизводительности испарителя АХА. Существующая разность температур по длине испарителя обуславливают различную интенсивность процессов конвективного теплообмена со стороны воздуха низкотемпературного отделения (НТО) и холодильной камеры (ХК). Максимальная тепловая нагрузка идет на начальные участки испарителя. Зачастую имеют место моменты, когда конечный участок испарителя прогрет больше, чем воздух в объеме охлаждаемой камеры. Особенно часто это можно наблюдать в ХК при температурах воздуха в помещении 31...32 °C (АШ-160) [1].

Измерения полей температур испарителя АХА не позволяют достоверно рассчитать холодопроизводительность испарителя из-за отсутствия надежных методик по расчету конвективного теплообмена со стороны охлаждаемого воздуха.

Выходом из такой ситуации может быть подход, разработанный Ю.А. Очеретяным [2], который холодопроизводительность испарителя АХА определял по теплопритокам в охлаждаемые камеры из окружающей среды.

Теплопритоки в охлаждаемые камеры могут быть рассчитаны на основе известного уравнения теплопередачи [3]:

$$Q_{T.P.} = \frac{(t_{o.c.} - t_k) \cdot F_k}{R_k}, \quad (1)$$

где $t_{o.c.}$ (t_k) — температура воздуха окружающей среды (в камере), °C;

F_k — поверхность теплопередачи, м²;

R_k — термическое сопротивление процесса теплопередачи, (К·м²)/Вт.

Термическое сопротивление процесса теплопередачи включает термическое сопротивление процесса сложного (конвективного плюс лучистого) теплообмена внутри камеры и снаружи, а также термическое сопротивление теплоизоляционных материалов шкафа:

$$R_k = \frac{1}{\frac{1}{\alpha_h \cdot F_h} + \sum_{i=1}^n \frac{\delta_i}{\lambda_i \cdot F_i} + \frac{1}{\lambda_{bh} \cdot F_{bh}}}, \quad (2)$$

где α_h , λ_{bh} — коэффициенты сложного теплообмена, соответственно, на наружной стенке камеры и на внутренней стенке, Вт/м²·К;

F_h , F_{bh} — площадь поверхности, соответственно наружной и внутренней стенке камеры, м²;

δ_i — коэффициент теплопроводности конструкционных и теплоизоляционных материалов конструкции холодильного шкафа, Вт/(м²·К).

При расчете теплопередачи через стенку шкафа величина поверхности рассчитывалась как:

$$\bar{F} = \frac{F_h + F_{bh}}{2}, \quad (3)$$

Расчет по формуле (2) не вызывает особых сложностей, за исключением определения конвективных и лучистых составляющих.

Для их определения были проведены экспериментальные исследования температурных полей холодильного шкафа АШ-160 в лаборатории перспективного проектирования Васильковского завода холодильников (ВЗХ). Измерение температур в характерных точках проводилось при помощи стандартных хромель-копелевых термопар. Тепловая мощность в генераторе АХА составляла 110 Вт. Изучались два режима работы: температура воздуха в помещении 24,6 °C и 32 °C.

Схема абсорбционного холодильника АШ-160 приведена на рис. 1 (вид спереди) и рис. 2 (вид сбоку). НТО холодильника выполнено в виде алюминиевого короба и имеет П — образную тепловую трубу (ТТ), заправленная аммиаком. Цифрами на рис. 1 и рис. 2 обозначены места установки термопар, там же приведены характерные размеры шкафа.

Результаты приведенных испытаний приведены в табл. 1.

Таблица 1

Temperatura okruzhayushchey sredy, °C	Temperatura v xarakternyx tochkakh, °C											
	1	2	3	4	5	6	7	8	9	10	11	12
32	-19	-20,1	-18	-16,2	-19	18,8	0,5	1,8	3,1	2,8	39,5	30,0
24,6	-23,5	-24,5	-22,5	-24	-28,8	-28	-3,5	-2,8	-0,9	-1,1	32	23

Temperatura okruzhayushchey sredy, °C	Temperatura v xarakternyx tochkakh, °C										
	13	14	15	16	17	18	19	20	21	22	23
32	4,5	30,5	30	35,5	4,5	5,0	30,0	4,0	31	7	31,8
24,6	0,0	24	23	27	0,5	1,0	23,5	0,0	25	2,8	25,8

Примечание. Термопары 1 (центр НТО), 8, 9, 10 установлены в воздушном объеме охлаждаемых камер.

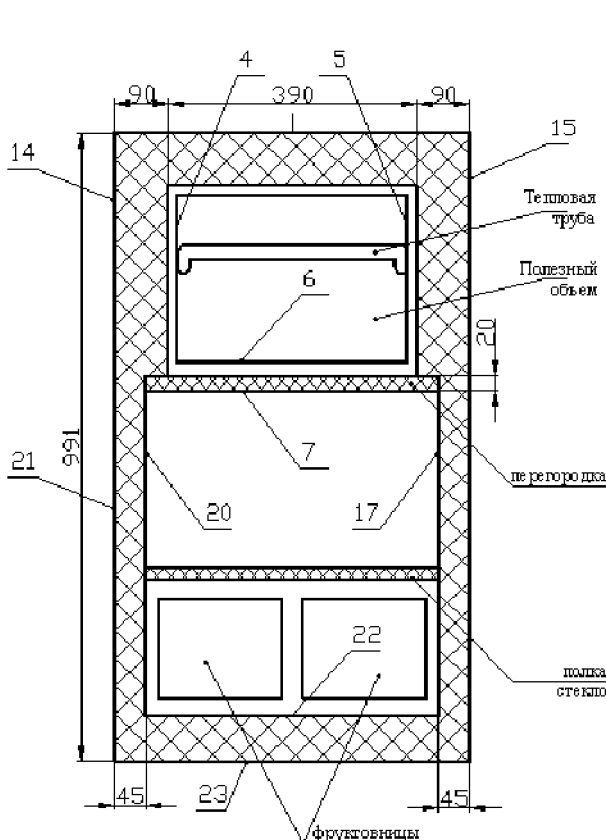


Рис. 1 – Места установки термопар на абсорбционном холодильнике АШ-160 (вид спереди)

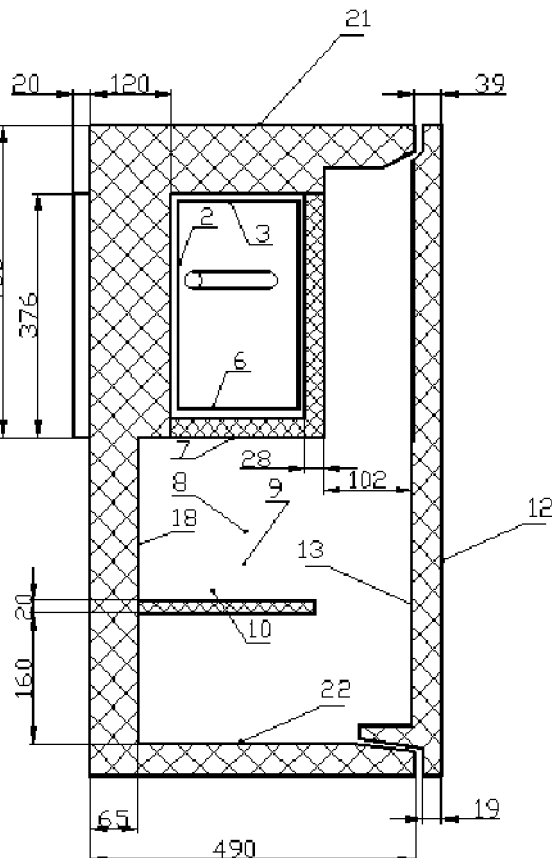


Рис. 2 – Места установки термопар на абсорбционном холодильнике АШ-160 (вид сбоку)

Результаты, приведенные в табл. 1, использовались для расчета конвективной и лучистой составляющей процесса сложного теплообмена.

В качестве базового объекта при построении методика расчета был взят трехкамерный холодильный шкаф. Это конструкция наиболее полно отражает различные комбинации и варианты выполнения холодильных шкафов.

Схема трехкамерного шкафа приведена на рис. 3 (вид спереди) и рис. 4 (вид сбоку). На рисунках представлены теплопритоки, которые могут иметь место в конструкции.

При разработке методики расчета предполагалось, что сток (отвод) тепла в НТО осуществляется по стенке алюминиевого короба, который практически не обладает термическим сопротивлением, т.е. поверхность стенки короба изотермична. Сток тепла из ХК осуществляется на оребренную панель, которая может иметь тепловую связь с секцией испарителя или (в случае однокамерного шкафа) с испарителем

всей его длине.

Передача тепла из нижней камеры осуществляется при помощи ТТ на оребренную панель.

$$\begin{cases} Q03 + QH\Pi = Q31 + Q33 + Q34 \\ Q02 + QB\Pi = Q21 + Q22 + Q23 + QH\Pi . \\ Q01 = Q11 + Q12 + Q13 + Q15 + QB\Pi \end{cases} \quad (4)$$

Для НТО с изотермической внутренней поверхностью:

$$Q12 = Q16 + Q17 + Q18 + Q19 \quad (5)$$

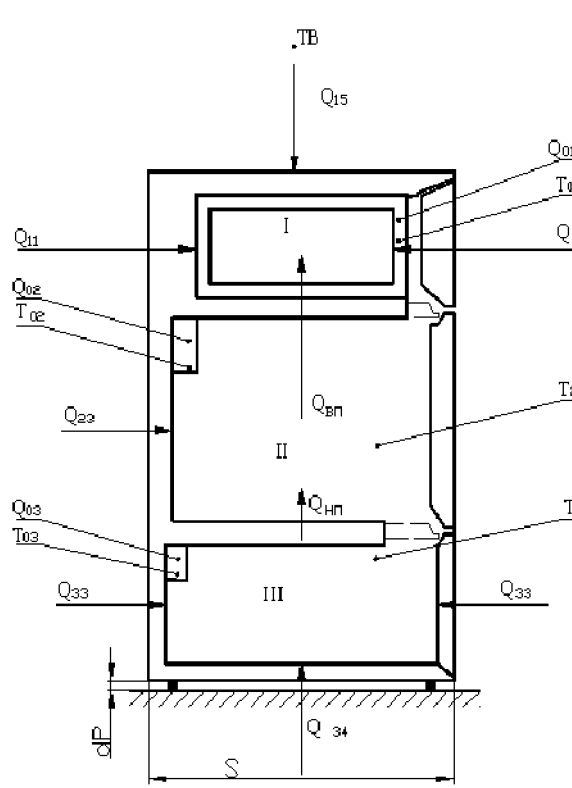


Рис. 3 – Схема трехкамерного шкафа АХП
(вид спереди)

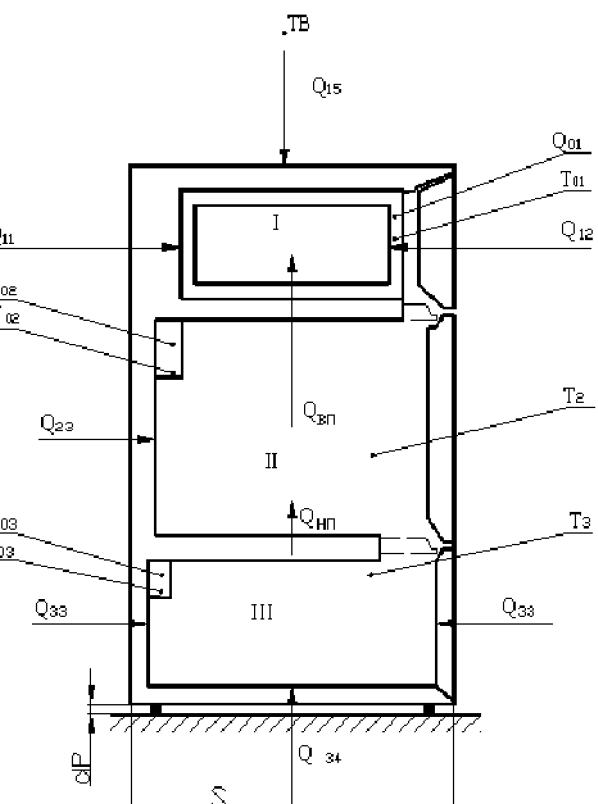


Рис. 4 – Схема трехкамерного шкафа АХП
(вид сбоку)

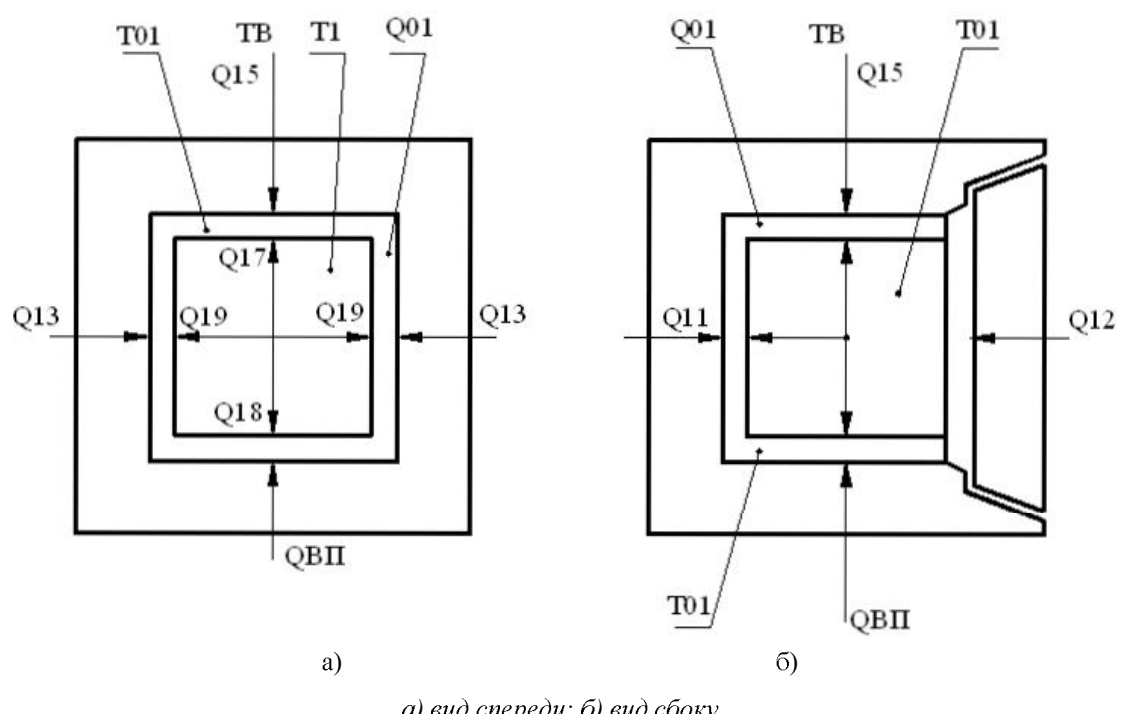


Рис. 5 – Тепловая схема однокамерного шкафа АХП

Используя термическое сопротивление, систему уравнений (4) можно записать в виде:

$$\left\{ \begin{array}{l} \frac{T_3 - T_{03}}{R_{03}} + \frac{T_3 - T_2}{R_{HII}} = \frac{TB - T_3}{R_{31}} + \frac{TB - T_3}{R_{32}} + \frac{TB - T_3}{R_{33}} + \frac{TB - T_3}{R_{34}} \\ \frac{T_2 - T_{02}}{R_{02}} + \frac{T_2 - T_{01}}{R_{BII}} = \frac{TB - T_2}{R_{21}} + \frac{TB - T_2}{R_{22}} + \frac{TB - T_2}{R_{23}} + \frac{TB - T_2}{R_{HII}} \\ Q_{01} = \frac{TB - T_{01}}{R_{11}} + \frac{TB - T_{01}}{R_{12}} + \frac{TB - T_{01}}{R_{13}} + \frac{TB - T_{01}}{R_{15}} + \frac{T_2 - T_{01}}{R_{BII}} \end{array} \right. \quad (6)$$

Система (7) записана для параллельных потоков тепла. Для НТО при передаче тепла через дверь и далее от воздуха к стенкам короба будет иметь место последовательный поток тепла, т.е.

$$R_1 = R_{12} + R_2. \quad (7)$$

В свою очередь:

$$\frac{1}{R_2} = \frac{1}{R_{16}} + \frac{1}{R_{17}} + \frac{1}{R_{18}} + \frac{1}{R_{19}}. \quad (8)$$

С учетом (7) и (8) система (6) может быть записана как:

$$\left\{ \begin{array}{l} \frac{T_3 - T_{03}}{R_{03}} + \frac{T_3 - T_2}{R_{HII}} = (TB - T_3) \cdot \left(\frac{1}{R_{31}} + \frac{1}{R_{32}} + \frac{1}{R_{33}} + \frac{1}{R_{34}} \right) \\ \frac{T_2 - T_{02}}{R_{02}} + \frac{T_2 - T_{01}}{R_{BII}} = (TB - T_2) \cdot \left(\frac{1}{R_{21}} + \frac{1}{R_{22}} + \frac{1}{R_{23}} \right) + \frac{T_3 - T_2}{R_{HII}} \\ Q_{01} = (TB - T_{01}) \cdot \left(\frac{1}{R_{11}} + \frac{1}{R_{12}} + \frac{1}{R_{13}} + \frac{1}{R_{15}} \right) + \frac{T_2 - T_{01}}{R_{BII}} \end{array} \right. \quad (9)$$

Система уравнений (9) лежит в основе методики расчета теплопритоков. Решив ее, можно определить холодопроизводительность испарителя для обеспечения требуемого уровня температур в охлаждаемых камерах холодильного шкафа.

В основе инженерной методики лежит система уравнений (9). В методике используется опыт практического конструирования абсорбционных холодильников, накопленный ВЗХ, а также результаты исследований температурных полей холодильника АШ-160, приведенных выше.

Рассмотрим расчет на примере абсорбционного холодильника АШ-160 (рис. 1 и рис. 2).

Исходные данные:

Объем НТО: $V_1 = 14 \cdot 10^{-3}$ м³.

Объем ХК верхней: $V_2 = 116 \cdot 10^{-3}$ м³.

Объем фруктовницы: $V_3 = 32 \cdot 10^{-3}$ м³.

Габариты холодильника: глубина: $G = 0,53$ м, ширина: $S = 0,57$ м.

Геометрические характеристики камер холодильника:

D_{13} — толщина боковой стенки НТО = 0,090 м;

D_{15} — толщина потолка: = 0,090 м;

D_{11} — толщина задней стенки: = 0,0120 м;

D_{1D1} — толщина первой двери: = 0,028 м

D_{2D1} — толщина второй двери: = 0,039 м;

D_{12D} — толщина зазора между второй и первой дверью: = 0,102 м;

D_{WP} — толщина верхней перегородки: = 0,020 м.

Верхняя холодильная камера (ВХК):

D_{23} — толщина боковой стенки ВХК: = 0,045 м;

D_{21} — толщина задней стенки: = 0,065 м;

D_{22} — толщина двери: = 0,039 м;

D_{NP} — толщина пола ВХК: = 0,003 м.

Фруктовница — нижняя холодильная камера (НХК):

D_{33} — толщина боковой стенки НХК: = 0,045 м;

D_{31} — толщина задней стенки: = 0,065 м;

D_{32} — толщина двери: = 0,039 м;

D_{34} — толщина пола: = 0,046 м;

D_{NPD3} — расстояние между нижней полкой и дверью НХК: = 0,130 м;

DP — расстояние холодильника от пола: = 0,03 м.

Параметры корпуса холодильника:

Наружного:

толщина: $DKH = 0,8 \cdot 10^{-3}$ м;

степень черноты материала: КН = 0,9.

Материал корпуса — сталь 20 LKH = 46,5 Вт/(м·К).

Внутреннего:

толщина: DKB = 0,003 м;

степень черноты: EKB = 0,9;

материал — пластик: LKH = 0,24 Вт/(м·К).

Внутреннего НТО:

толщина корпуса НТО: DK1 = 0,002 м;

степень черноты материала: EK1 = 0,065;

материал — алюминий: LK1 = 200 Вт/(м·К).

Параметры перегородок:

Верхней:

толщина корпуса перегородки: DKWP = 0,003 м;

материал корпуса — пластик: DKWP = 0,24 Вт/м·К;

материал изоляции верхней перегородки: LIWP = 0,022 Вт/м·К.

Нижней:

толщина корпуса перегородки: DKNP = 0,000 м;

материал корпуса — пластик: DKNP = 0,24 Вт/м·К;

материал изоляции нижней перегородки: LINP = 0,022 Вт/м·К.

Материал изоляции (ПГУ):

корпуса холодильника: LIK = 0,022 Вт/(м·К);

первой двери НТО: LI1D1 = 0,022 Вт/(м·К);

второй двери НТО: LI2D1 = 0,022 Вт/(м·К);

двери BXK: LD22 = 0,022 Вт/(м·К);

двери HXK: LID32 = 0,022 Вт/(м·К);

материал корпуса первой двери НТО: LK1D1 = 0,24 Вт/(м·К).

толщина корпуса первой двери: DK1D1 = 0,003 м.

Температурные поля элементов конструкции:

Температурный напор

на крыше холодильника DT15N = 2,2 (2,6);

на боковых наружных стенах НТО: DT13N = 2,0 (1,6);

на наружных боковых стенах BXK: DT23N = 2,0 (1,0);

на наружных боковых стенах HXK: DT33N = 2,0 (1,0);

на наружной поверхности второй двери НТО: DT12D2N = 2,0 (1,6);

на наружной поверхности второй двери BXK: DT22DN = 2,0 (1,6);

на наружной поверхности двери HXK: DT32DN = 2,0 (2,6);

на внутренней поверхности задней стенки BXK: DT21V = 2,4 (2,6);

на внутренней поверхности боковых стенок BXK: DT23V = 1,6 (1,8);

на внутренней поверхности двери BXK: DT22V = 1,9 (1,6);

на потолке BXK: DTWP2 = 2,1 (1,9);

на полу BXK: DTNP2 = 1,0 (1,0);

на внутренней поверхности HXK: DT31V = 1,4 (1,6);

на внутренней поверхности боковых стенок: DT33V = 1,0 (1,0);

на внутренней поверхности двери HXK: DT32V = 1,0 (1,0);

на внутренней поверхности потолка HXK: DTNP3 = 1,0 (1,0);

на внутренней поверхности пола HXK: DT34V = 1,0 (1,0);

на дне холодильника: DT34N = 1,5 (0,5);

на внутренней поверхности второй двери НТО: DT12D2V = 2,0 (1,6);

на наружной поверхности второй двери НТО: DT12D1N = 2,1 (1,9);

на внутренней поверхности второй двери НТО: DT12D1V = 1,0 (0,5).

Температура окружающего воздуха: TB = 32 °C (25 °C).

Температура в НТО (по воздуху): T10 = минус 18 °C.

Температура в BXK: T2 = 5 °C.

Температура в HXK: T3 = 7 °C.

Расчет геометрических параметров трехкамерного холодильника.

Полезный объем холодильника: $V = V1 + V2 + V3$.

Глубина НТО: $G1 = G - D11 - DK1 - D1D1 - D2D2 - D1D$.

Ширина НТО:	$S1 = S - 2D13 - 2DK1.$
Площадь пола (потолка) НТО:	$F1 = G1 \cdot S1.$
Высота НТО:	$H1 = \frac{V1}{F1}.$
Площадь внутренней задней стенки НТО:	$F2 = S1 \cdot H1.$
Площадь внутренних боковых стенок НТО:	$F3 = 2 \cdot G1 \cdot S1.$
Площадь внутренней поверхности первой двери НТО:	$F4 = F2.$
Глубина BXK:	$G2 = G - D21 - D22.$
Ширина BXK:	$S2 = S - 2 \cdot D23.$
Площадь пола (сечения) BXK:	$F5 = G2 \cdot S2.$
Площадь потолка BXK (дна НТО):	$F6 = (G2 - D12D) \cdot S2.$
Высота BXK:	$H2 = \frac{V2}{F5}.$
Площадь внутренней задней стенки BXK:	$F7 = S2 \cdot H2.$
Площадь внутренней поверхности двери BXK:	$F8 = F7.$
Площадь боковых внутренних стенок BXK:	$F9 = 2 \cdot G2 \cdot H2.$
Глубина HXK:	$G3 = G - D31 - D32.$
Ширина HXK:	$S3 = S - 2D33.$
Площадь пола HXK:	$F10 = G3 \cdot S3.$
Площадь потолка HXK:	$F11 = S3 \cdot (G3 - DNPD3).$
Высота HXK:	$H3 = \frac{Y3}{F10}.$
Площадь внутренней задней стенки HXK:	$F12 = S3 \cdot H3.$
Площадь внутренней поверхности HXK:	$F13 = F12.$
Площадь боковых внутренних стенок HXK:	$F14 = 2 \cdot G3 \cdot H3.$
Высота холодильного шкафа:	$H = H1 + H2 + H3 + D34 + DNP + DWP + 2DK1 + D15.$
Наружная высота НТО:	$L1 = H1 + 2DK1 + D15 + DWP / 2.$
Наружная высота BXK:	$L2 = H2 + DWP + DNP / 2.$
Наружная высота HXK:	$L3 = H3 + DNP / 2 + D34.$
Площадь верхней крышки (дна) холодильного шкафа:	$F15 = G \cdot S.$
Площадь задней наружной поверхности:	$F16 = L1 \cdot S.$
Площадь боковой наружной поверхности НТО:	$F17 = L1 \cdot G2.$
Площадь наружной поверхности первой двери НТО:	$F18 = (S - 2D13) \cdot (H1 + 2 \cdot DWP).$
Площадь внутренней поверхности второй двери НТО:	$F18 = F18.$
Площадь наружной поверхности второй двери НТО:	$F20 = S \cdot L1.$
Площадь наружной поверхности задней стенки BXK:	$F21 = S \cdot L2.$
Площадь наружной боковой поверхности BXK:	$F22 = G \cdot L2 \cdot 2.$
Площадь наружной поверхности двери НТО:	$F23 = S \cdot L2.$
Площадь наружной поверхности задней стенки HXK:	$F24 = S \cdot L3.$
Площадь наружной боковой поверхности HXK:	$F25 = G \cdot L3 \cdot 2.$
Площадь наружной поверхности двери HXK:	$F26 = S \cdot L3.$
Наружная высота НТО и BXK:	$H4 = L1 + L2.$
Высота внутренней поверхности второй двери НТО:	$HD2V = H1 + 2 \cdot DWP.$
Высота наружной поверхности первой двери НТО:	$HD1N = HD2V.$
Глубина пола BXK:	$GP2 = G2 - DNPD3.$
Глубина потолка BXK:	$GPT2 = G2 + D1D1 - D12D.$
Площадь потолка BXK:	$F27 = GPT2 \cdot S2.$
Площадь пола BXK:	$F28 = GP2 \cdot S2.$
Высота холодильной камеры:	$HHK = H2 + H3.$
Высота наружной холодильной камеры:	$HHKN = HHK + \frac{DWP}{2} + D34.$
Задняя поверхность XK, внутренняя:	$F29 = F7 + F12.$
Боковая внутренняя поверхность XK:	$F30 = F9 + F14.$

- Внутренняя поверхность двери ХК: $F31 = F8 + F13$.
 Наружная площадь задней стенки ХК: $F32 = F21 + F24$.
 Наружная площадь боковых стенок ХК: $F33 = F22 + F25$.
 Наружная площадь двери ХК: $F34 = F23 + F26$.

Проводится расчет лучистой составляющей сложного теплообмена на внутренний и внешней поверхностях холодильного шкафа по формуле [4]:

$$AL = E \cdot 5,67 \cdot \frac{2 \cdot (T + 273) + DT}{200} \cdot 0,227, \quad (10)$$

где E — степень черноты материала;
 $5,67$ — коэффициент излучения абсолютно черного тела;
 T — температура воздушной среды, $^{\circ}\text{C}$;
 DT — температурный напор, $^{\circ}\text{C}$.

Расчет конвективных составляющих сложного теплообмена проводится по формулам [4]:

$$\alpha_R = \frac{(1.42 + 1.4 \cdot 10^{-3} \cdot \bar{t}) \cdot N \cdot \Delta t}{L^4}, \quad (11)$$

$$\alpha_R = (1.67 + 3.6 \cdot 10^{-3} \cdot \bar{t}) \cdot N \cdot (\Delta t)^{\frac{1}{3}}, \quad (12)$$

Формула (12) применена в случае, если удовлетворяется условие:

$$\Delta t < \left(\frac{840}{L \cdot 10^{-3}} \right)^3, \quad (13)$$

где \bar{t} — средняя температура стенки и воздуха, $^{\circ}\text{C}$;

L — определяющий размер, м;

Δt — температурный напор, $^{\circ}\text{C}$;

N — коэффициент, учитывающий ориентацию поверхности теплообмена.

Для вертикальной поверхности $N = 1$. Для горизонтальной пластины, рассевающей тепловые потоки: вверх $N = 1,3$; вниз $N = 0,7$.

Расчет термического сопротивления теплоизоляции проводится по формуле:

$$R_{us} = \frac{d_{CT3}}{\lambda_{us} \cdot \bar{F}} + \frac{d_{H.K}}{\lambda_{H.K} \cdot F_{H.K}} + \frac{d_{B.K}}{\lambda_{B.K} \cdot F_{B.K}}, \quad (14)$$

где d_{us} , $d_{H.K}$, $d_{B.K}$ — толщина, соответственно, теплоизоляции, наружного корпуса, внутреннего корпуса, м;

$F_{H.K}$, $F_{B.K}$ — площадь корпуса, соответственно наружного и внутреннего, m^2 ;

λ_{us} , $\lambda_{H.K}$, $\lambda_{B.K}$ — коэффициент теплопроводности, соответственно, теплоизоляции материала наружного и внутреннего корпуса, $\text{Вт}/(\text{м}\cdot\text{K})$.

Площадь поверхности теплообмена при расчете термического сопротивления процесса теплопроводности определяется как среднеарифметическое значение

$$\bar{F} = \frac{F_{H.K} + F_{B.K}}{2}. \quad (15)$$

Расчет полного термического сопротивления конструкция абсорбционных холодильников

Расчет проведен по формуле:

$$R_{\Sigma} = R_{us} + \frac{1}{(\alpha_{K.H} - \alpha_{L.H}) \cdot F_{H.K}} + \frac{1}{(\alpha_{K.B} - \alpha_{L.B}) \cdot F_{B.K}}, \quad (16)$$

где $\alpha_{K.H}$, $\alpha_{K.B}$ — коэффициенты конвективного теплообмена, соответственно, на наружной и внутренней стороне конструкций;

$\alpha_{L.H}$, $\alpha_{L.B}$ — коэффициенты лучистого теплообмена, соответственно, на наружной и внутренней стороне конструкций.

Расчет полного термического сопротивления камер АХП выполняется следующим образом.

Для однокамерного холодильника с морозильным отделением типа АШ-160.

Холодопроизводительность испарителя морозильной камеры:

$$Q01 = (TB - T1) \cdot \left(\frac{1}{RC15} + \frac{1}{RC13} + \frac{1}{RCWP} + \frac{1}{RC12D1} + \frac{1}{RC12D1} + (TB + 4 + T1) \cdot \frac{1}{RC11} \right). \quad (17)$$

Холодопроизводительность испарителя ХК:

а) основной:

$$Q_{02} = (TB - T_2) \cdot \left(\frac{1}{RC_{23}} + \frac{1}{RC_{22}} + \frac{1}{RC_{12D2}} \right) + (TB + 8 - T_2) \cdot \left(\frac{1}{RC_{21}} \right) + \\ + (T_3 - T_2) \cdot \frac{1}{RCNP} - (T_2 - T_1) \cdot \left(\frac{1}{RCWP} + \frac{1}{RC_{12D1}} \right); \quad (18)$$

б) фруктовницы:

$$Q_{03} = (TB - T_3) \cdot \left(\frac{1}{RC_{33}} + \frac{1}{RC_{32}} + \frac{1}{RC_{34}} \right) + (TB + 8 - T_3) \cdot \frac{1}{RC_{31}} - (T_3 - T_2) \cdot \frac{1}{RCNP}. \quad (19)$$

Аналогично проводится расчет для трехкамерного холодильника с морозильной камерой.

Расчет холодопроизводительности двухкамерного холодильника с морозильной камерой проводится следующим образом.

Определяется холодопроизводительность испарителя холодильной камеры:

$$Q_{0HK} = (TB - T_2) \cdot \left(\frac{1}{RC_{34}} + \frac{1}{RCHK_2} + \frac{1}{RCNK_3} \right) + (TB + 8 - T_2) \cdot \frac{1}{RCHK_1} - (T_2 - T_1) \cdot \frac{1}{RCWP}. \quad (20)$$

Холодопроизводительность испарителя морозильной камеры:

$$Q_{0HTO} = (TB - T_1) \cdot \left(\frac{1}{RC_{15}} + \frac{1}{RC_{13}} + \frac{1}{RC_{12D2}} \right) + (T_2 - T_1) \cdot \frac{1}{RCWP} - (TB + 4 - T_1) \cdot \frac{1}{RC_{11}}. \quad (21)$$

В формулах (20) и (21)

$$RCHK_1 = f(RIHK_1), \quad RCHK_2 = f(RIHK_2), \quad RCHK_3 = f(RIHK_3),$$

где

$$RIHK_1 = \frac{RI_{21} \cdot RI_{31}}{RI_{21} + RI_{31}}, \quad (22)$$

$$RIHK_2 = \frac{RI_{22} \cdot RI_{32}}{RI_{22} + RI_{32}}, \quad (23)$$

$$RIHK_3 = \frac{RI_{23} \cdot RI_{33}}{RI_{23} + RI_{33}}. \quad (24)$$

Из-за дополнительного теплового влияния элементов АХА в формулах (17) и (19) температурный напор на основании опытных данных увеличен на 4 °C со стороны задней стенки НТО и на 8 °C со стороны задней стенки ХК.

Проведен ряд вариантовых расчетов абсорбционных холодильников АШ-160 и АШ-155, двухкамерного абсорбционного холодильника, двухкамерного холодильника АШД-200, трехкамерного абсорбционного холодильника с нижней камерой хранения овощей и фруктов.

В расчетах конструкций шкафов варьировались геометрические размеры (толщина) потолка шкафа, боковых и задних стенок, двери, перегородок и объемы охлаждаемых камер.

Результаты расчетов приведены на рис. 6 и рис. 7.

Анализ результатов, приведенных на рис. 6 и рис. 7, показывает, что на теплопроходимость НТО практически не влияет температура воздуха окружающей среды. Расчеты показали, что отличие в значениях при изменении температуры от 32 °C до 10 °C не превышает 0,5 %.

Такая же ситуация имеет место и в области малых значений объемов ХК (от 50 до 70 дм³), но с увеличением объемов ХК начинает проявляться зависимость от температуры воздуха окружающей среды. При объеме ХК 182 дм³ различие значений теплопроходимости при различных температурах воздуха окружающей среды (от 10 °C до 32 °C) составляет около 28 %.

Анализ полученных зависимостей также показал, что с увеличением значений полезного объема камер, как НТО, так и ХК, увеличивается и теплопроходимость конструкций шкафов.

Эти результаты расчетов объясняются тем, что с ростом габаритов шкафов снижается суммарное термическое сопротивление теплопритокам за счет увеличения поверхности теплопередачи. При увеличении температуры воздуха окружающей среды и неизменной температуре в охлаждаемых камерах возрастают температурные напоры на стенах шкафа. Согласно расчетным соотношениям (10–12) это приводит к росту, соответственно, как лучистой, так и конвективной составляющей процесса сложного теплообмена, а в итоге — к дополнительному снижению термического сопротивления процессу теплопередачи (увеличению теплопроходимости шкафа АХП).

Некоторые результаты расчета теплопритоков в охлаждаемые камеры различных типов АХП при температурах окружающего воздуха 25 °C и 32 °C приведены в табл. 2.

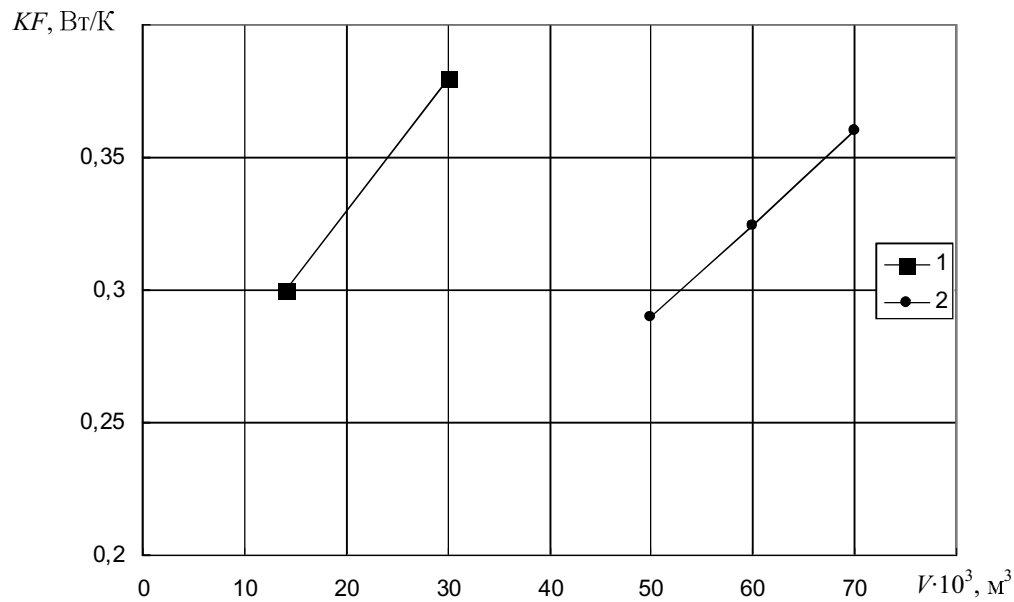
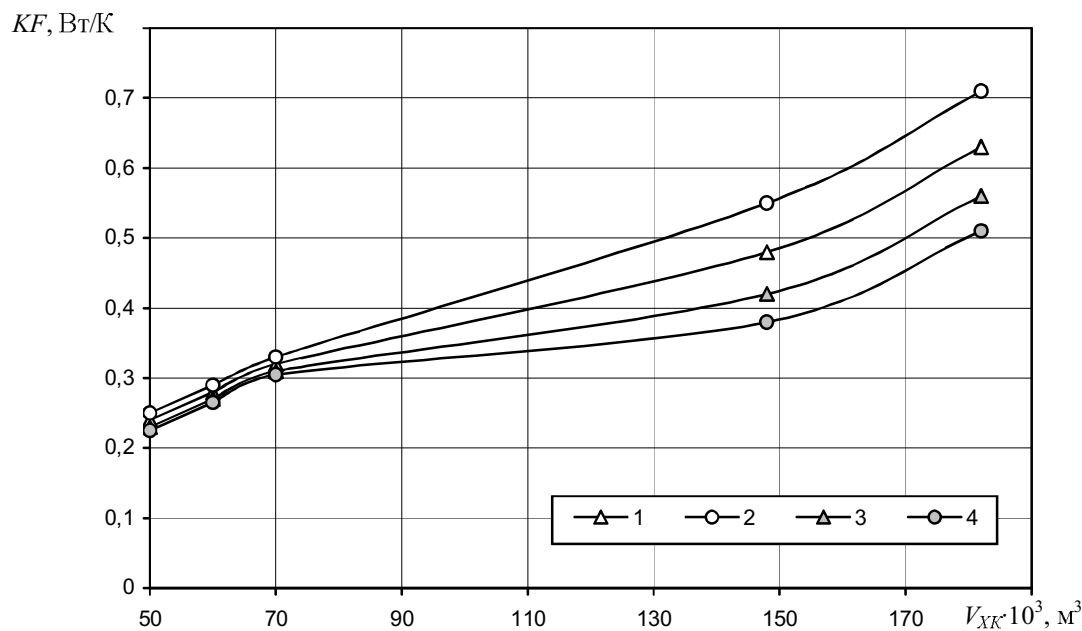


Рис. 6 – Залежність тепlopровідності (KF) низкотемпературних камер АХП різного призначення від значень їх корисного об'єму (толщина стінок низкотемпературних камер 90 мм, температура в охолоджуваному об'ємі мінус 18 °C)



Температура повітря усередині камери:

1 – 25 °C; 2 – 32 °C, 3 – 18 °C, 4 – 10 °C

Рис. 7 – Залежність тепlopровідності (KF) холодильних камер АХП від значень їх корисного об'єму при різних температурах повітря усередині камери (Толщина стінок холодильних камер при об'ємах камер: від 50 до 70 dm^3 – 60 мм; від 148 до 182 dm^3 – 40 мм. Температура в охолоджуваному об'ємі 5 °C)

Таблиця 2

Наименование параметров	Расчетные значения
Однокамерный холодильник с НТО	
Толщина изоляции:	
НТО:	
боковая стенка	D13 = 0,090 м
потолок	D15 = 0,090 м
задняя стенка	D11 = 0,120 м
дверца	D1D1 = 0,028 м
общая дверь	D2D1 = 0,039 м
перегородка	DWP = 0,020 м
ХК:	
боковая стенка	D23 = 0,045 м
задняя стенка	D21 = 0,065 м
дверь	D22 = 0,039 м
пол	D34 = 0,046 м
Материал изоляции ППУ	LIWP = 0,022 Вт/(м·К)
Объем низкотемпературного отделения	V1 = 0,014 м ³
Объем холодильной камеры	V2 = 0,016 м ³
Объем фруктовницы	V3 = 0,032 м ³
Суммарный объем холодильника	V = 0,162 м ³
Глубина холодильника	G = 0,530 м
Ширина холодильника	S = 0,570 м
Высота холодильника	H = 0,993 м
Температура окружающего воздуха	
Температура в НТО	T1 = минус 18 °C
Температура в холодильной камере	T2 = 5 °C
Холодопроизводительность НТО	Q01 = 12,829 Вт
Холодопроизводительность основной камеры	Q02 = 7,572 Вт
Холодопроизводительность фруктовницы	Q03 = 2,042 Вт
Суммарная холодопроизводительность холодильной камеры	Q02 и Q03 = 9,614 Вт
Температура окружающего воздуха	
Температура в НТО	T1 = минус 18 °C
Температура в холодильной камере	T2 = 5 °C
Холодопроизводительность испарителя НТО	Q01 = 14,913 Вт
Холодопроизводительность испарителя основной камеры	Q02 = 11,052 Вт
Холодопроизводительность испарителя фруктовницы	Q03 = 3,737 Вт
Суммарная холодопроизводительность испарителя холодильной камеры	Q02 и Q03 = 14,789 Вт
Двухкамерный холодильник с морозильной камерой	
Толщина изоляции:	
Морозильная камера:	
потолок	D13 = 0,090 м
задняя стенка	D15 = 0,090 м
общая дверь	D2D1 = 0,085 м
перегородка	DWP = 0,058 м
ХК:	
боковая стенка	D23 = 0,060 м
задняя стенка	D21 = 0,080 м
дверь	D22 = 0,039 м
пол	DP = 0,030 м
Материал изоляции ППУ	LIWP = 0,022 Вт/(м·К)
Объем морозильного отделения	V1 = 0,050 м ³
Объем холодильной камеры	V2 и V3 = 0,060 м ³
Суммарный объем холодильника	V = 0,110 м ³
Глубина холодильника	G = 0,488 м

Продолжение таблицы 2

Наименование параметров	Расчетные значения
Ширина холодильника	S = 0,600 м
Высота холодильника	H = 0,926 м
Температура окружающего воздуха	TB = 25 °C
Температура в морозильном отделении	T1 = минус 18 °C
Температура в холодильной камере	T2 = 5 °C
Холодопроизводительность морозильного отделения	Q0HTO = 12,383 Вт
Холодопроизводительность холодильной камеры	Q0HK = 5,527 Вт
Температура окружающего воздуха	TB = 32 °C
Температура в морозильном отделении	T1 = минус 18 °C
Температура в холодильной камере	T2 = 5 °C
Холодопроизводительность испарителя морозильного отделения	Q0HTO = 14,179 Вт
Холодопроизводительность испарителя холодильной камеры	Q0HK = 7,782 Вт
Трехкамерный холодильник с морозильной камерой	
Толщина изоляции:	
Морозильная камера:	
боковая стенка	D13 = 0,075 м
потолок	D15 = 0,080 м
задняя стенка	D11 = 0,100 м
общая дверь	D2D1 = 0,079 м
верхняя перегородка	DWP = 0,059 м
ХК:	
боковая стенка	D23 = 0,040 м
задняя стенка	D21 = 0,048 м
дверь	D22 = 0,039 м
нижняя перегородка	DNP = 0,050 м
Камера хранения овощей и фруктов	
боковая стенка	D33 = 0,040 м
задняя стенка	D31 = 0,048 м
дверца	D32 = 0,039 м
пол	D34 = 0,039 м
Материал изоляции ППГУ	LIWP = 0,022 Вт/(м·K)
Объем морозильного отделения	V1 = 0,040 м ³
Объем холодильной камеры	V2 = 0,150 м ³
Объем камеры хранения	V3 = 0,045 м ³
Суммарный объем холодильника	V = 0,235 м ³
Глубина холодильника	G = 0,494 м
Ширина холодильника	S = 0,570 м
Высота холодильника	H = 1,478 м
Температура окружающего воздуха	TB = 25 °C
Температура в морозильном отделении	T1 = минус 18 °C
Температура в холодильной камере	T2 = 5 °C
Температура в камере хранения овощей и фруктов	T3 = 12 °C
Холодопроизводительность морозильного отделения	Q01 = 19,669 Вт
Холодопроизводительность холодильной камеры	Q02 = 13,239 Вт
Холодопроизводительность камеры хранения овощей и фруктов	Q03 = 4,830 Вт
Температура окружающего воздуха	TB = 32 °C
Температура в морозильном отделении	T1 = минус 18 °C
Температура в холодильной камере	T2 = 5 °C
Температура в камере хранения овощей и фруктов	T3 = 5 °C
Холодопроизводительность испарителя морозильного отделения	Q01 = 22,859 Вт
Холодопроизводительность испарителя холодильной камеры	Q02 = 17,933 Вт
Холодопроизводительность испарителя камеры хранения овощей и фруктов	Q03 = 7,209 Вт

Выводы

1. Разработана методика расчета холодопроизводительности испарителя абсорбционного холодильного агрегата в составе абсорбционных холодильных приборов различного назначения (одно-, двух- и трехкамерного шкафа), которая учитывает результаты экспериментальных исследований серийного абсорбционного холодильника АХП-160 при различных температурах воздуха окружающей среды. Результаты экспериментальных исследований использованы в разработанной методике для определения температурных напоров на внутренних и внешних стенках шкафов АХП и учитывают, в том числе, и дополнительное влияние теплорасеивающих элементов на задней стенке шкафа.
2. Получены расчетные графические зависимости для определения теплопроходимости типичных НТО и ХК в составе АХП от значения соответствующего полезного объема.
3. Показано, что с ростом габаритов охлаждаемых камер теплопроходимость их увеличивается.
4. Температура воздуха окружающей среды не оказывает влияния на теплопроходимость камер при малых их габаритах (до 70 м³). При объеме ХК 148 дм³ и выше влияние температуры воздуха окружающей среды (от 10 °C до 32 °C) существенно — рост теплопроходимости достигает 28 %.

Литература

1. Разработать низкотемпературные абсорбционные холодильные машины на новых рабочих телах : Отчет о НИР (заключ.) / Одес. технол. ин-т пищ. пром-сти им. М.В.Ломоносова. — № ГР UA 010001081 Р. – Одесса, 1993. – 236 с.
2. Очеретянный Ю.А. Повышение надежности и энергетической эффективности транспортных абсорбционных холодильных приборов: дис. канд. техн. наук : 05.05.14 / Очеретянный Юрий Александрович. – Одесса, 2010. – 196 с.
3. Исаченко В.П. Теплопередача / В.П. Исаченко, В.А. Осипова, А.С. Сукомел. – М.: Энергия, 1981. – 416 с.
4. Дульнев Г.Н. Тепло- и массообмен в радиоэлектронной аппаратуре / Г.Н. Дульнев. – М.: Высш. шк., 1984. – 247 с.

УДК 621.575.932

АНАЛИЗ ВЛИЯНИЯ ТЕПЛОВОЙ МОЩНОСТИ, ПОДВОДИМОЙ В ГЕНЕРАТОРЕ АБСОРБЦИОННОГО ХОЛОДИЛЬНОГО АГРЕГАТА, НА РЕЖИМЫ РАБОТЫ И ЭНЕРГЕТИЧЕСКУЮ ЭФФЕКТИВНОСТЬ АБСОРБЦИОННОГО ХОЛОДИЛЬНОГО ПРИБОРА

**Титлова О.А., аспирант, Титлов А.С., д-р техн. наук, проф.
Одесская национальная академия пищевых технологий, г. Одесса**

Представлен анализ влияния подводимой тепловой нагрузки в генераторе на процессы тепломассообмена в элементах абсорбционного холодильного агрегата и энергетическую эффективность абсорбционного холодильного прибора. Выделено пять характерных режимов работы генератора. Сформулированы рекомендации для разработчиков автоматических систем управления

The analysis of influence of the tricked into thermal loading is presented in a generator on the processes of heat and mass transfer in the elements of absorption refrigeration aggregate and power efficiency of absorption refrigeration device. Five characteristic modes of operations of generator are selected. Formulated recommendation for the developers of automatic control the system

Ключевые слова: абсорбционные холодильные приборы, абсорбционные холодильные агрегаты, генератор, подводимая тепловая мощность, энергетическая эффективность, система автоматического управления.

Основной сегмент рынка бытового холодильного оборудования в настоящее время принадлежит компрессионным холодильным приборам (КХП) [1-4]. И, хотя абсорбционные холодильные приборы (АХП) имеют ряд преимуществ перед КХП (рабочее тело АХП — экологически безопасный ВАР с водородом; отсутствие компрессора повышает ресурс и надежность работы, делает работу АХП бесшумной; источниками тепловой энергии АХП могут являться как электрическая энергия, в том числе, низкого